

بررسی اثر کشنده‌ی پپتید بروینین-2R بر سلول‌های اسکواموس کارسینوم دهانی

دکتر فائزه خزیمه^۱، دکتر زهرا گلستان نژاد^۲، دکتر عزیزالله باختری^۳، دکتر مهین بخشی^۴، هژیر یوسف شاهی^۵
شاهین گوانجی^۶

نویسنده‌ی مسؤول: باشگاه پژوهشگران جوان و نخبگان، دانشگاه آزاد اسلامی واحد خوراسگان (اصفهان)، اصفهان shahin.Gavanji@yahoo.com

دریافت: ۹۴/۳/۳۱ پذیرش: ۹۵/۱/۲۲

چکیده

زمینه و هدف: اخیراً استفاده از پپتیدهای دارویی جهت ساخت داروهای نوین مورد توجه می‌باشد. از این میان نانو پپتید بروینین-2R دارای طیف وسیعی از عملکردهای زیستی می‌باشد. بر این اساس این مطالعه با هدف بررسی اثر بروینین-2R بر روی سلول‌های اسکواموس سل کارسینوم دهانی (KB) در مقایسه با سلول طبیعی فیبروبلاست موش (L929) در شرایط *In vitro* انجام گرفت.

روش بررسی: در این مطالعه آزمایشگاهی سلول‌های اسکواموس سل کارسینوم دهانی (KB) و رده‌ی سلول طبیعی فیبروبلاست موش (L929) به عنوان شاهد کشت شدند. سلول‌ها با غاظت‌های مختلف پپتید بروینین-2R (۱۰، ۳۰ میکروگرم بر میلی‌لیتر) به مدت ۲۴، ۴۸ و ۷۲ ساعت تیمار شدند. میزان زنده بودن سلول‌ها به روش MTT تعیین گردید. سپس داده‌ها با نرم افزار SPSS نسخه ۲۰ به روش one way ANOVA و توکی مورد آنالیز قرار گرفت.

یافته‌ها: میزان غاظت کشنده‌ی ۵۰ درصدی (IC50) در این مطالعه برای پپتید بروینین-2R بر دو رده‌ی سلولی KB و L929 به ترتیب برابر با ۱۵/۴ و ۲۴/۱۴ میکروگرم بر میلی‌لیتر به دست آمد. نسبت IC50 رده L929 به سلول اسکواموس کارسینوم دهانی برابر با ۱/۵۶ می‌باشد که نشان از نیاز بیشتر غاظت بروینین-2R به میزان تقریباً ۱/۵ برابر برای مشاهده اثر کشنده‌ی ۵۰ درصدی روحی سلول L929 نسبت به رده‌ی سلولی KB دارد.

نتیجه‌گیری: نتایج این مطالعه نشان داد که پپتید بروینین-2R، دارای اثر سمیت سلولی بیشتری بر روی سلول‌های اسکواموس سل کارسینوم دهانی (KB) نسبت به سلول‌های طبیعی فیبروبلاست موش (L929) می‌باشد.
واژگان کلیدی: بروینین-2R کشنده‌ی سلولی، اسکواموس سل کارسینوم دهانی، پپتید درمانی

۱- متخصص بیماری‌های دهان و دندان، دانشیار گروه بیماری‌های دهان فک و صورت، مرکز تحقیقات دندانپزشکی ترابی نژاد، دانشگاه علوم پزشکی اصفهان، اصفهان

۲- متخصص بیماری‌های دهان و دندان، استادیار گروه بیماری‌های دهان فک و صورت، مرکز تحقیقات دندانپزشکی ترابی نژاد، دانشگاه علوم پزشکی اصفهان، اصفهان

۳- دکترای ژنتیک و اصلاح دام، گروه علوم دامی، دانشکده‌ی کشاورزی، دانشگاه صنعتی اصفهان، اصفهان

۴- متخصص بیماری‌های دهان و دندان، دانشیار گروه بیماری‌های دهان فک و صورت، دانشکده‌ی دندانپزشکی، دانشگاه علوم پزشکی شهید بهشتی، تهران

۵- دانشجوی دندانپزشکی، کمیته‌ی تحقیقات دانشجویی، دانشکده‌ی دندانپزشکی، دانشگاه علوم پزشکی اصفهان، اصفهان

۶- مهندسی گیاه پزشکی، باشگاه پژوهشگران جوان و نخبگان، دانشگاه آزاد اسلامی، واحد خوراسگان (اصفهان)، اصفهان

مقدمه

استفاده از پپتیدهای دارویی در سال‌های اخیر مورد توجه قرار گرفته است (۱ و ۲). داروهای مختلف مشتق شده از پپتید، ۱۰ تا ۴۰ آمینو اسید دارند (۳ و ۴). بروینین-2R، پپتیدی ۲۵ آمینواسیدی دوگانه دوست و یک ماده دفاعی غیر همولیتیک است که اولین بار از پوست قورباغه‌ی تالابی ژاپن *Rana brevipoda porosa* جداسازی شده است (۴ و ۵). سه پپتید دارویی بروینین دارای انواع مختلفی می‌باشند (۶). این پپتیدها ساختار آمفی پاتیک داشته و انتهای آمینو آنها آب دوست می‌باشد (۷-۹). این پپتید دارای طیف وسیعی از عملکردهای زیستی از جمله خاصیت ضد توموری و ضد میکروبی می‌باشد (۱۰ و ۱۱).

از میان بدخیمی‌ها، اسکواموس سل کارسینومای سر و گردن، از لحاظ شیوع هشتمین بدخیمی می‌باشد. این بدخیمی دارای منشا اپی تلیال بوده که در اثر موتاسیون‌های ژنی به دلیل ناپایداری ژنتیکی و فاکتورهای محیطی ایجاد می‌گردد. بیش از ۹۰ درصد بدخیمی‌های دهان کارسینومای سلول سنگفرشی (SCC) است (۱۴-۱۲). روش‌های درمان استاندارد این بدخیمی عبارتند از: شیمی درمانی و جراحی و رادیوتراپی (۱۵). این روش‌ها به تنهایی و یا در ترکیب با یکدیگر باعث افزایش طول عمر افراد مبتلا می‌گردد (۱۸-۱۶). قابل ذکر بوده که، استفاده از این درمان‌ها باعث بروز عوارض جانبی شدید حتی در بعضی موارد منجر به محدودیت ادامه درمان می‌گردد. با توجه به موارد مذکور مطالعات برروی ترکیباتی با خاصیت ضد سرطانی هدفمند (علیه سلول‌های توموری نه همه سلول‌های بدن) صورت گرفته است (۱۹). از میان این ترکیبات می‌توان به Brevini-2R اشاره نمود (۱۱)، بر این اساس این مطالعه با هدف بررسی اثر بروینین-2R بر روی سلول‌های اسکواموس سل کارسینوم دهانی (SCC) در مقایسه با سلول‌های طبیعی فیبروبلاست (L929) در شرایط In vitro پرداخته است.

روش بررسی

این مطالعه از نوع آزمایشگاهی بوده و در محیط *In vitro* انجام گرفت. سلول‌های اسکواموس سل کارسینوم دهانی (KB) و رده‌ی سلول طبیعی فیبروبلاست موش (L929) به عنوان شاهد از بانک سلولی انسیتیو پاستور ایران تهیه شد. پپتید بروینین-2R از موسسه تحقیقات طب سنتی ایران با شماره‌ی A-۸۳۴۷۶۵۳ (KLKNFAKGVAQSLNKAASKLSGQC) دارای گردد. دو رده‌ی سلولی از تانک ازت خارج و مرحله‌ی پیش زدایی سلول‌ها انجام شد. سپس سلول‌ها در محیط کشت RPMI-1640 (SIGMA, USA) غنی شده همراه با ۱۰ درصد آنتی‌بیوتیک پنی‌سیلین (Gibco) Fetal Bovine Serum و ۱۰۰ واحد بر میلی‌لیتر و آنتی‌بیوتیک استرپتومایسین ۱۰۰ میکروگرم بر میلی‌لیتر (Gibco) در انکوباتور CO₂ دار RH=۱۰۰ درصد) با دمای ۳۷ درجه‌ی سانتی‌گراد و میزان ۵ درصد) بازدید شدند. پس از انجام یک دوره پاساز سلولی برای اطمینان از درصد بالای سلول‌های زنده در حال رشد تست Viability با رنگ تریپان بلو محاسبه شد که درصد سلول‌های زنده بیش از ۹۰ درصد به دست آمد (۲۰).

آزمایش MTT: جهت سنجش میزان بقای سلولی از روش رنگ‌سنجد (MTT) ۳-(4,5-dimethylthiazol-2-yl)-2,5-diphenyltetrazolium استفاده شد (۲۱ و ۲۲). در این تست فعالیت سوکسینات دهید روزنائز سلول‌های زنده، محلول زرد رنگ MTT را به کریستال‌های نامحلول فورمازان بنفس رنگ تبدیل می‌کند و میزان کریستال‌های نامحلول فورمازان را پس از حل کردن آن در دی‌متیل سولفوکساید (DMSO) با دستگاه الایزا ریدر سنجش می‌نمایند. بهمنظور انجام این تست ۲۰۰ میکرولیتر سوپسپانسیون سلولی $10^4 \times 5$ سلول در هر میلی‌لیتر محیط کشت در میکرو پلیت‌های ۹۶ خانه‌ای کشت داده شدند. در ادامه سلول‌ها با غلظت‌های مختلف پپتید بروینین-2R (۲، ۴، ۶، ۸، ۱۰، ۱۲، ۱۴، ۱۶، ۱۸، ۲۰، ۲۲، ۲۴، ۲۶، ۲۸ و ۳۰ میکروگرم در میلی‌لیتر) که با روش رقیق سازی سریالی تهیه شده بود

توموری به صفر می‌رسد. در ۲۴ ساعت دوم اثر معنی‌دار این نانوپیتید بر کشنندگی از غلظت ۸ میکروگرم بر میلی‌لیتر شروع می‌شود و در غلظت ۱۸ میکروگرم بر میلی‌لیتر زنده ماندن سلول توموری به صفر می‌رسد. در ۲۴ ساعت سوم اثر معنی‌دار این نانوپیتید بر کشنندگی از غلظت ۶ میکروگرم بر میلی‌لیتر شروع می‌شود و در غلظت ۱۸ میکروگرم بر میلی‌لیتر زنده ماندن سلول های طبیعی در ۲۴ ساعت اول اثر معنی‌دار این نانوپیتید بر کشنندگی سلول از غلظت ۲۲ میکروگرم بر میلی‌لیتر شروع می‌شود و در غلظت ۲۸ میکروگرم بر میلی‌لیتر قدرت کشنندگی سلول طبیعی به حداقل می‌رسد. در ۲۴ ساعت دوم و سوم اثر معنی‌دار این نانوپیتید بر کشنندگی از غلظت ۱۸ میکروگرم بر میلی‌لیتر شروع می‌شود و در غلظت ۲۶ میکروگرم بر میلی‌لیتر قدرت کشنندگی سلول طبیعی به حداقل می‌رسد.

حروف متفاوت در هر ستون نشان از تفاوت معنی‌داری در سطح ($P < 0.0001$) دارد. نمودارهای درصد سلول‌های زنده پس از قرار گیری در معرض غلظت‌های مختلف پیتید بروینین- R_2 به تفکیک زمان (ساعات ۲۴، ۴۸ و ۷۲) در سه نمودار زیر آورده شده است. در ۲۴ ساعت اول و آنالیز t-test مستقل نشان داد که تا غلظت ۱۰ میکروگرم بر میلی‌لیتر تفاوتی بین درصد سلول‌های زنده دو ردهی سلولی مورد آزمایش ناشی از تیمار با پیتید بروینین- R_2 وجود ندارد اما از غلظت ۱۲ میکروگرم بر میلی‌لیتر بین دو ردهی سلولی در واکنش به این پیتید تفاوت معنی‌دار وجود دارد ($P = 0.0001$). در غلظت ۲۸ میکروگرم بر میلی‌لیتر دوباره درصد زنده ماندن دو ردهی سلولی بدخیم و طبیعی پس از تیمار با این نانوپیتید یکسان می‌گردد (نمودار ۱).

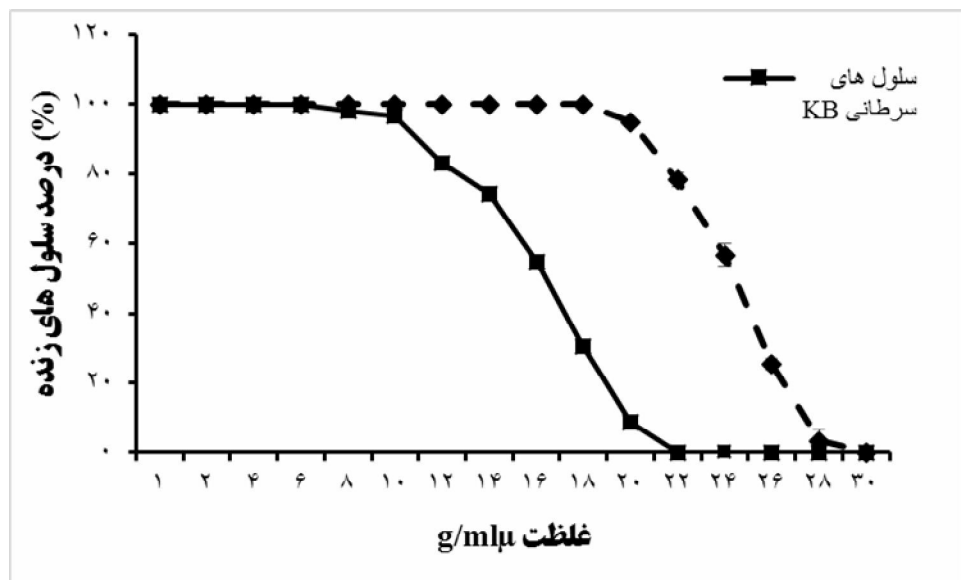
به مدت ۴۸، ۲۴ و ۷۲ ساعت تیمار شدند. پس از طی زمان‌های مذکور و به ازای هر ۲۰۰ میکرولیتر از محیط کشت، ۲۰ میکرولیتر رنگ MTT به هر خانه از پلیت‌های ۹۶ خانه‌ای DMSO اضافه شد. سپس به هر خانه از پلیت بافر گلایسین و ELISA Microplate نوری در طول موج ۵۷۰ نانومتر توسط Reader خوانده شد (۲۳). درصد سلول‌های زنده باقیمانده در غلظت‌های مختلف پیتید در ساعت‌های ۲۴، ۴۸ و ۷۲ برای one way ANOVA مورد آنالیز آماری قرار گرفت. مقایسه میانگین غلظت‌های موثر در کشنندگی سلول بدخیمی (KB) و فیبروبلاست (L929) به روش توکی صورت گرفت. مقایسه درصد زنده ماندن دو ردهی سلولی در غلظت‌های مشابه از پیتید بروینین- R_2 با استفاده از آزمون t مستقل مورد آزمون قرار گرفت. داده‌ها به صورت میانگین ± خطای معیار گزارش گردید.

یافته‌ها

در جدول ۱ اثر غلظت‌های مختلف پیتید بروینین- R_2 درصد سلول‌های زنده ردهی اسکراموس (KB) و ردهی فیبروبلاست (L929) در ساعت‌های ۲۴، ۴۸ و ۷۲ گزارش شده است. نتایج نشان داد با افزایش غلظت پیتید اثر کشنندگی آن بر هر دو رده سلول افزایش می‌یابد ($P < 0.0001$). در این مطالعه از غلظت‌های ۱/۱ تا ۶ میکروگرم بر میلی‌لیتر هیچ‌گونه اثر کشنندگی در هر دو ردهی سلولی سلول بدخیمی (KB) و فیبروبلاست (L929) مشاهده نشد ولی از غلظت ۸ میکروگرم بر میلی‌لیتر به بعد اثر کشنندگی مشاهده شد. در ۲۴ ساعت اول اثر معنی‌دار این نانوپیتید بر کشنندگی سلول‌های توموری از غلظت ۱۲ میکروگرم بر میلی‌لیتر شروع می‌شود و در غلظت ۲۲ میکروگرم بر میلی‌لیتر زنده ماندن سلول

جدول ۱. میانگین درصد سلول‌های زنده‌ی رده‌ی سلولی توموری (KB) و رده‌ی سلول طبیعی (L929) در زمان‌های ۲۴، ۴۸ و ۷۲ ساعت پس از قرار گیری در معرض غلظت‌های مختلف پپتید بروینین-2R

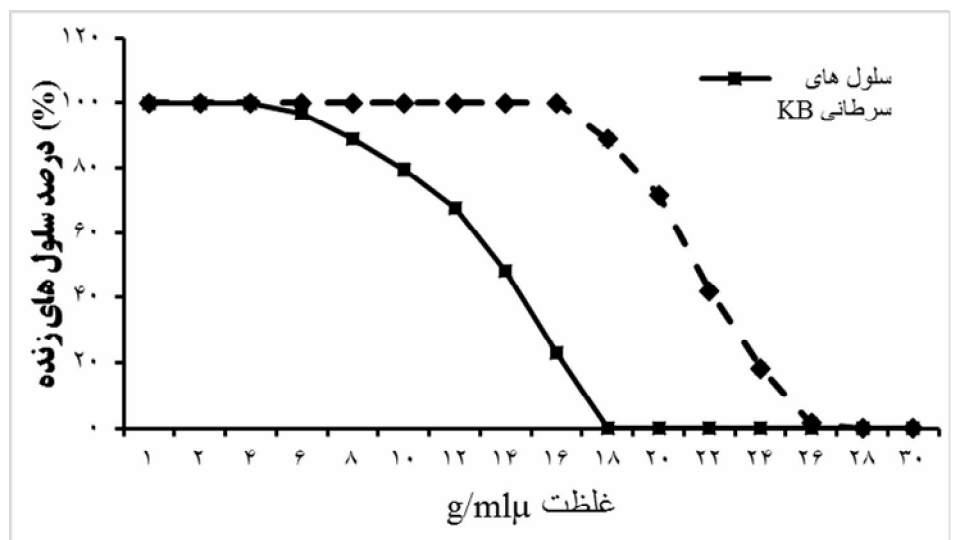
بروینین(μg/ml)	سلول‌های سرطانی			سلول‌های L929		
	Mean±SE			Mean±SE		
	۲۴	۴۸	۷۲	۲۴	۴۸	۷۲
۴	۱۰۰±۰/۰۰ ^a					
۶	۱۰۰±۰/۰۰ ^a	۹۷/۶۷±۱/۰۰ ^a	۹۱/۶۰±۰/۶۶ ^b	۱۰۰±۰/۰۰ ^a	۱۰۰±۰/۰۰ ^a	۱۰۰±۰/۰۰ ^a
۸	۹۸/۲۳±۱/۷۷ ^a	۸۸/۷۰±۰/۵۳ ^b	۸۳/۴۰±۰/۹۵ ^c	۱۰۰±۰/۰۰ ^a	۱۰۰±۰/۰۰ ^a	۱۰۰±۰/۰۰ ^a
۱۰	۹۷/۶۷±۰/۴۹ ^a	۷۹/۳۷±۲/۰۷ ^c	۷۴/۶۳±۲/۲۹ ^d	۱۰۰±۰/۰۰ ^a	۱۰۰±۰/۰۰ ^a	۱۰۰±۰/۰۰ ^a
۱۲	۸۳/۱۰±۰/۸۳ ^b	۶۷/۵۰±۱/۰۷ ^d	۶۲/۴۳±۱/۳۳ ^e	۱۰۰±۰/۰۰ ^a	۱۰۰±۰/۰۰ ^a	۱۰۰±۰/۰۰ ^a
۱۴	۷۴/۲۳±۰/۸۶ ^c	۴۸/۴۰±۰/۶۶ ^e	۴۳/۵۳±۱/۷۰ ^f	۱۰۰±۰/۰۰ ^a	۱۰۰±۰/۰۰ ^a	۱۰۰±۰/۰۰ ^a
۱۶	۵۴/۷۳±۰/۶۵ ^d	۲۲/۹۳±۱/۷۴ ^f	۱۷/۲۳±۲/۱۰ ^g	۱۰۰±۰/۰۰ ^a	۱۰۰±۰/۰۰ ^a	۹۷/۵۷±۰/۲۶ ^a
۱۸	۳۰/۴۰±۰/۵۶ ^e	./۰۰±۰/۰۰ ^g	./۰۰±۰/۰۰ ^h	۱۰۰±۰/۰۰ ^a	۸۸/۸۷±۱/۹۷ ^b	۸۳/۴۶±۱/۶۶ ^b
۲۰	۸/۸۰±۱/۰۱ ^f	./۰۰±۰/۰۰ ^g	./۰۰±۰/۰۰ ^h	۹۴/۸۰±۱/۴۳ ^a	۷۱/۷۰±۰/۹۳ ^c	۷۲/۹۰±۱/۰۹ ^c
۲۲	./۰۰±۰/۰۰ ^g	./۰۰±۰/۰۰ ^g	./۰۰±۰/۰۰ ^h	۷۸/۱۷±۱/۹۶ ^b	۴۲/۱۰±۱/۱۱ ^d	۳۷/۵۱±۱/۴۸ ^d
۲۴	./۰۰±۰/۰۰ ^g	./۰۰±۰/۰۰ ^g	./۰۰±۰/۰۰ ^h	۵۶/۷۰±۳/۳۶ ^c	۱۸/۳۳±۱/۶۷ ^e	۱۲/۵۴±۱/۶۴ ^e
۲۶	./۰۰±۰/۰۰ ^g	./۰۰±۰/۰۰ ^g	./۰۰±۰/۰۰ ^h	۲۵/۳۰±۱/۵۷ ^d	۱/۶۷±۱/۶۷	./۰۰±۰/۰۰ ^f
۲۸	./۰۰±۰/۰۰ ^g	./۰۰±۰/۰۰ ^g	./۰۰±۰/۰۰ ^h	۳/۳۳±۳/۳۳ ^e	./۰۰±۰/۰۰ ^f	./۰۰±۰/۰۰ ^f
۳۰	./۰۰±۰/۰۰ ^g	./۰۰±۰/۰۰ ^g	./۰۰±۰/۰۰ ^h	./۰۰±۰/۰۰ ^e	./۰۰±۰/۰۰ ^f	./۰۰±۰/۰۰ ^f



نمودار ۱: درصد سلول‌های زنده پس از قرارگیری در معرض غلظت‌های مختلف بروینین- R در ۲۴ ساعت اول

به طور معنی‌داری کمتر از درصد سلول‌های زنده‌ی رده‌ی سلولی طبیعی است ($P=0.0001$). در غلظت ۲۶ میکروگرم بر میلی‌لیتر دوباره دو رده‌ی سلولی از نظر میزان زنده‌ماندن پس از تیمار با پیتید بروینین یکسان می‌گردند (نمودار ۲).

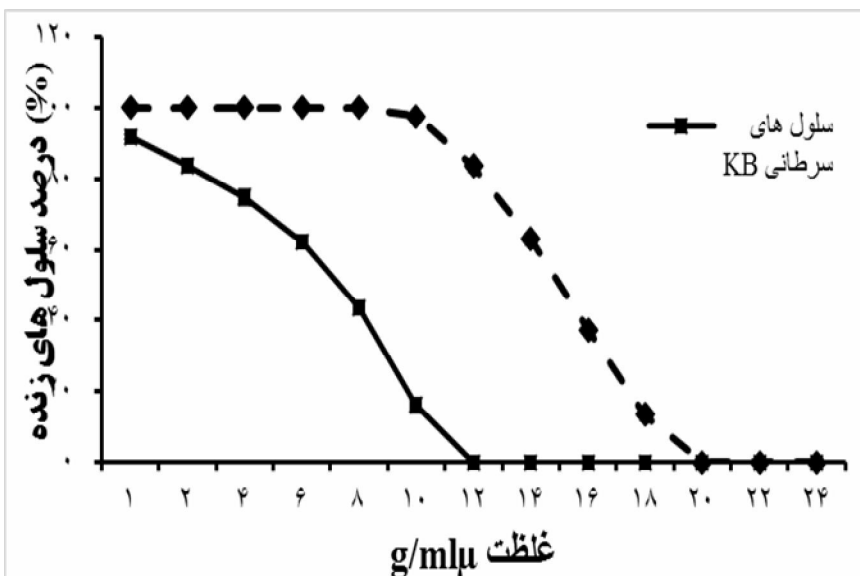
پس از ۴۸ ساعت تا غلظت ۶ میکروگرم بر میلی‌لیتر تفاوتی بین درصد سلول‌های زنده‌ی رده‌ی سلولی مورد آزمایش ناشی از تیمار با این پیتید وجود ندارد و اما از غلظت ۸ میکروگرم بر میلی‌لیتر درصد سلول‌های زنده‌ی رده‌ی سلولی اسکواموس در واکنش به پیتید بروینین



نمودار ۲: درصد سلول‌های زنده پس از قرارگیری در معرض غلظت‌های مختلف بروینین- R پس از ۴۸ ساعت

بروینین تفاوت معنی‌دار وجود دارد. در غلظت ۲۶ میکروگرم بر میلی‌لیتر دوباره دو ردهی سلولی از نظر زنده مانی با تیمار با این نانو پیتید یکسان می‌گردند (نمودار ۳).

پس از ۷۲ ساعت تا غلظت ۴ میکروگرم بر میلی‌لیتر تفاوتی بین دو ردهی سلولی ناشی از تیمار با این نانوپیتید وجود ندارد اما از غلظت ۶ میکروگرم بر میلی‌لیتر در سطح ۰/۰۰۱ بین دو ردهی سلولی در واکنش به نانوپیتید



نمودار ۳. درصد سلول‌های زنده پس از قرار گیری در معرض غلظت‌های مختلف بروینین- $2R$ پس از ۷۲ ساعت

معادله مطابق جدول ۲ محاسبه شد. در جدول ۲ معادلات ارایه شده، معادلات رگرسیون خطی است.

میزان IC50 در این مطالعه برای بروینین- $2R$ ، بر روی هر دو ردهی سلولی KB و L929 در ۲۴ ساعت ابتدایی با استفاده از

جدول ۲. میزان $IC50$ و R^2 در این مطالعه برای بروینین- $2R$ بر روی هر دو ردهی سلولی KB و L929

معادله سلول‌های سرطانی برای محاسبه IC50	معادله سلول‌های نرمال برای محاسبه IC50
$IC = 157 - 6/91X$	$IC = 281 - 9/57X$
غلظت بروینین = X	غلظت بروینین = X
$R^2 = 93/3\%$	$R^2 = 96/0\%$

R^2 معیاری از مناسب بودن مدل برای برآورد زنده مانی بر اساس غلظت می‌باشد که هرچه به ۱۰۰ نزدیک‌تر باشد بهتر است.

نانوپیتید بروینین- $2R$ را قرار دهیم که در مطالعه آن غلظت را بررسی نکرده باشیم، این معادله میزان زنده ماندن سلول مورد نظر را در آن غلظت پیش‌بینی خواهد نمود. با توجه به این معادله غلظت موثر که در آن ۵۰ درصد ردهی سلولی

بر اساس این مطالعات که به کمک نرم‌افزار آماری SPSS نسخه ۲۰ به دست آمده، می‌توان به ازای هر غلظت به کار رفته از نانوپیتید بروینین- $2R$ میزان زنده ماندن سلول طبیعی و یا بدخیمی را به دست آورد. اگر به جای ایکس، غلظتی از

L929 به ترتیب برابر با ۱۵/۴۸ و ۲۴/۱۴ میکروگرم بر میلی لیتر IC50 به دست آمد. نسبت IC50 سلول طبیعی (L929) به سلول توموری (KB) برابر با ۱/۵۶ به دست آمد در مطالعه ای قوامی و همکارانش در سال ۲۰۰۸ اثر پیتید بروینین-2R را بر روی رده های سلولی سرطان خون، بد خیمی کلون، پستان و ریه مورد بررسی قرار دادند که میزان (IC₅₀) = غلظت پیتید بروینین-2R که سبب مرگ ۵۰ درصد سلول ها می شود) بر روی رده های سلولی سرطانی پستان (MCF-7) بین ۱۰ تا ۱۵ میکروگرم بر میلی لیتر، رده سلولی لوکمیابی (BJAB) بین ۳۰ تا ۴۰ میکروگرم بر میلی لیتر و سلول طبیعی فیبروبلاست موش (L929) بین ۲۰ تا ۲۵ میکروگرم بر میلی لیتر به دست آمده است (۱۱). مقایسه نتایج این مطالعه و قوامی نشان می دهد بروینین-2R دارای اثر کشنده گی بر روی رده سلولی سرطانی پستان (MCF-7) در غلظت مشابه با این تحقیق است، ولی در این مطالعه پیتید بروینین-2R با غلظت کمتری دارای اثر کشنده گی بر روی رده سلولی طبیعی (L929) نسبت به مطالعه قوامی و همکارانش بود (۱۱). در تحقیق دیگری که توسط حسنوند جمشیدی در سال ۲۰۱۴ انجام شد، اثر بروینین-2R بر روی سلول های سرطان معده (AGS) مورد بررسی قرار گرفت که نتایج این تحقیق نشان داد غلظت های ۳۰ تا ۱۲۰ میکروگرم در میلی لیتر دارای خاصیت کشنده گی بر روی این رده سلولی بد خیم (AGS) می باشد (۱۰). مقایسه نتایج ما و حسنوند جمشیدی نشان می دهد که بروینین-2R دارای اثر مهار کننده گی قوی تری بر روی سلول های سرطانی اسکواموس سل کارسینوم دهانی (KB) نسبت به رده سلولی سرطانی معده (AGS) می باشد (۱۰).

نتیجه گیری

نتایج این مطالعه نشان داد که پیتید بروینین-2R، دارای اثر کشنده بیشتری بر روی سلول های اسکواموس سل کارسینوم دهانی ۱۵/۴۸ میکرو لیتر بر کیلو گرم نسبت به

اسکواموس (KB) از بین رفتند، برابر با ۱۵/۴۸ میکرو گرم بر میلی لیتر = IC50 و برای رده سلولی فیبروبلاست (L929) میزان IC50 برابر با ۲۴/۱۴ میکرو گرم بر میلی لیتر به دست آمد. نسبت IC50 سلول طبیعی (L929) به IC50 سلول توموری (KB) برابر است با ۱/۵۶ = ۲۴/۱۴/۱۵/۴۸ = ۱/۵۶ که نشان از نیاز بیشتر غلظت بروینین-2R به میزان تقریبا ۱/۵ برابر برای مشاهده ای اثر کشنده گی ۵۰ درصدی روی سلول طبیعی (L929) نسبت به رده سلولی توموری (KB) دارد.

بحث

پیتیدها رشته های کوتاهی هستند که از به هم پیوستن آمینو اسیدها با ترتیب مشخصی تشکیل شده اند. اولین بار در علم پزشکی خاصیت ضد میکروبی پیتید بروینین-2R بر روی سویه های پاتوژن بیماری زا کشف شد، سپس نتایج مختلف نشان داد که بروینین-2R دارای اثرات سمیت سلولی بهتر بر روی سلول های توموری است. این عامل را می توان به خاصیت کاتیونیک و آمفی پاتیک بروینین-2R مرتبط دانست (۲۴-۲۸). بررسی مکانیسم بروینین-2R بر روی رده های سلولی بد خیم نشان می دهد که این پیتید در مرحله ای نخست به دیواره سلول توموری متصل می شود و بر روی چرخه ای سلولی تاثیر می گذارد (۳۰). نتایج تحقیقی که توسط پاپو و همکارانش در سال ۲۰۰۳ بر روی اثر بروینین-2R می باشد (۲۹). نتایج تحقیقی که توسط پاپو سلول های توموری در موش انجام شد، نشان داد که نوع اسید آمینه در بدنه اصلی پیتید می تواند در اثر ضد سرطانی این ماده هی دارویی موثر باشد، به طوری که وجود اسید آمینه Lوسین (Leu) از نوع D و L، لیزین (Lys) و آرژنین (Arg) در مکانیسم ضد توموری و ضد میکروبی این پیتید دارویی می باشد (۳۰). نتایج مطالعه ای ما نشان داد که بروینین-2R دارای اثر مهار کننده بر روی سلول های بد خیم اسکواموس سل کارسینوم دهانی (KB) می باشد و میزان IC50 برای بروینین-2R، بر روی هر دو رده سلولی KB و

پایینی بر روی سلول‌های سالم می‌باشد. این گونه اثر بخشی بر روی سلول‌های فیبروبلاست مطرح کننده احتمال بروز عوارض جانبی پایین‌تر در حین استفاده بالینی این پپتید می‌باشد. بدین منظور انجام مطالعات تکمیلی به‌ویره کارآزمایی‌های بالینی توصیه می‌گردد.

سلول‌های طبیعی فیبروبلاست موش ۰/۱۴ میکرومتر بر کیلوگرم ۲۴ می‌باشد. با توجه به این موضوع که غلظت کشنده‌گی بر روی سلول‌های سرطانی پایین‌تر می‌باشد می‌توان این ماده را به عنوان دارویی پیشنهادی به عنوان درمان کمکی برای بیماران مبتلا به اسکواموس سل کارسینومای دهانی مطرح نمود، که ضمن اثر بخشی دارای عوارض ناخواسته

References

- Ali MF, Knoop FC, Vaudry H, Conlon JM. Characterization of novel antimicrobial peptides from the skins of frogs of the *Rana esculenta complex*. *Peptides*. 2003; 24: 955-61.
- Boman HG. Peptide antibiotics and their role in innate immunity. *Annu Rev Immunol*. 1995; 13: 61-92.
- Kwon MY, Hong SY, Lee KH. Structure-activity analysis of brevinin 1E amide, an antimicrobial peptide from *Rana esculenta*. *Biochim Biophys Acta*. 1998; 1387: 239-48.
- Yaghoubi H, Asef A, Banki A. Solid phase chemical synthesis and structure-activity study of brevinin-2R and analogues as antimicrobial peptides. *J Med Bacteriol*. 2013; 2: 41-53.
- Ehrenstein G, Lecar H. Electrically gated ionic channels in lipid bilayers. *Quart Rev Biophysics*. 1977; 10: 1-34.
- Zhong L, Putnam RJ, Johnson WC, Rao AG. Design and synthesis of amphipathic antimicrobial peptides. *Int J Peptide Pro Res*. 1995; 45: 337-47.
- Conlon JM, Seidel B, Nielsen PF. An atypical member of the brevinin-1 family of antimicrobial peptides isolated from the skin of the European frog *Rana dalmatina*. Comparative biochemistry and physiology part C: *Toxicology & Pharmacology*. 2004; 137: 191-6.
- Saeid G, Ahmad A, Thomas K. Brevinin-2R semi-selectively kills cancer cells by a distinct mechanism, which involves the lysosomal-mitochondrial death pathway. *J Cell Molec Med*. 2007; 12: 1005-22.
- WE D, Trueb L. Biology of amphibians. Johns Hopkins University Press, Baltimore; 1994.
- Hasanvand Jamadi R, Asadi A, Hasanvand Jamadi M. In vitro evaluation of anticancer activity of brevinin-2R against AGS cell line. *J New Cell Molec Biotechnol*. 2014; 3: 107-10.
- Ghavami S, Asoodeh A, Klonisch T, et al. Brevinin-2R1 semi-selectively kills cancer cells by a distinct mechanism, which involves the lysosomal-mitochondrial death pathway. *J Cell Molec Med*. 2008; 12: 1005-22.
- Kacher J. Oral and maxillofacial pathology. Case of the month. Histoplasmosis. *Texas Dent J*. 2013; 130: 198-232.
- Kudo Y, Takata T, Yasui W, et al. Reduced expression of cyclin-dependent kinase inhibitor p27Kip1 is an indicator of malignant behavior in oral squamous cell carcinoma. *Cancer*. 1998; 83: 2447-55.

- 14- Golub TR. Genome-wide views of cancer. *New Eng J Med.* 2001; 344: 601-2.
- 15- Chin YW, Balunas MJ, Chai HB, Kinghorn AD. Drug discovery from natural sources. *AAPS J.* 2006; 8: E239-E53.
- 16- Haigentz M, Silver CE, Corry J, et al. Current trends in initial management of oropharyngeal cancer: the declining use of open surgery. *Eur Arch Otorhinolaryngol.* 2009; 266: 1845-55.
- 17- Parsons JT, Mendenhall WM, Stringer SP, et al. Squamous cell carcinoma of the oropharynx: surgery, radiation therapy, or both. *Cancer.* 2002; 94: 2967-80.
- 18- Pignon JP, le Maitre A, Maillard E, Bourhis J. Meta-analysis of chemotherapy in head and neck cancer (MACH-NC): an update on 93 randomised trials and 17, 346 patients. *Radiother Oncol.* 2009; 92: 4-14.
- 19- Lin HY, Thomas JL, Chen HW, Shen CM, Yang WJ, Lee MH. In vitro suppression of oral squamous cell carcinoma growth by ultrasound-mediated delivery of curcumin microemulsions. *Int J Nanomed.* 2012; 7: 941-51.
- 20- Louis KS, Siegel AC. Cell viability analysis using trypan blue: manual and automated methods. *Mammalian Cell Viability*: Springer; 2011. p. 7-12.
- 21- Alley MC, Scudiero DA, Monks A, et al. Feasibility of drug screening with panels of human tumor cell lines using a microculture tetrazolium assay. *Cancer Res.* 1988; 48: 589-601.
- 22- Gavanji S, Mohammadi E, Larki B, Bakhtari A. Antimicrobial and cytotoxic evaluation of some herbal essential oils in comparison with common antibiotics in bioassay condition. *Integrative Med Res.* 2014; 3: 142-52.
- 23- Tolosa L, Donato MT, Gómez-Lechón MJ. General cytotoxicity assessment by means of the MTT assay. protocols in *in vitro Hepatocyte Research.* 2015: 333-48.
- 24- Dimarcq JL, Bulet P, Hetru C, Hoffmann J. Cysteine-rich antimicrobial peptides in invertebrates. *Peptide Science.* 1998; 47: 465-77.
- 25- Ganz T. Defensins: antimicrobial peptides of vertebrates. *Comptes Rendus Biologies.* 2004; 327: 539-49.
- 26- Tossi A, Sandri L, Giangaspero A. Amphipathic, α -helical antimicrobial peptides. *Peptide Science.* 2000; 55: 4-30.
- 27- Zasloff M. Antimicrobial peptides in health and disease. *New Eng J Med.* 2002; 347: 1199-205.
- 28- Zelezetsky I, Pag U, Sahl H-G, Tossi A. Tuning the biological properties of amphipathic α -helical antimicrobial peptides: Rational use of minimal amino acid substitutions. *Peptides.* 2005; 26: 2368-76.
- 29- Papo N, Shahar M, Eisenbach L, Shai Y. A novel lytic peptide composed of DL-amino acids selectively kills cancer cells in culture and in mice. *J Biol Chem.* 2003; 278: 21018-23.
- 30- Papo N, Shai Y. Can we predict biological activity of antimicrobial peptides from their interactions with model phospholipid membranes? *Peptides.* 2003; 24: 1693-703.

Cytotoxicity Effect of Brevinin-2R Peptide on Oral Squamous Cell Carcinoma

Khazimeh F¹, Golestan Nezhad Z¹, Bakhtari A², Bakhshi M³, Yousef Shahi H⁴, Gavanji SH⁵

¹Dental Research Center, Isfahan University of Medical Sciences, Isfahan, Iran

²Dept. of Animal Sciences, Faculty of Agriculture, Isfahan University of Technology, Isfahan, Iran

³Dept. of Dental Diseases, Faculty of Dentistry, Shahid Beheshti University of Medical Sciences, Tehran, Iran

⁴Student Research Committee, Faculty of Dentistry, Isfahan University of Medical Sciences, Isfahan, Iran

⁵Young Researchers and Elite Club, Islamic Azad University, Isfahan (khorasan) Branch, Isfahan, Iran

Corresponding Author: Gavanji SH, Young Researchers and Elite Club, Islamic Azad University, Isfahan
(khorasan) Branch, Isfahan, Iran

E-mail: shahin.Gavanji@yahoo.com

Received: 21 Jun 2015 **Accepted:** 10 Apr 2016

Background and Objective: Peptide as an agent in manufacturing new drugs has recently been taken into consideration. Brevinin-2R is a nano peptide with a wide range of biological actions. Thus, the current study was designed in order to evaluate the in vitro effects of Brevinin-2R on oral squamous cell carcinoma cells in comparison to normal mice fibroblast cells.

Materials and Methods: In this study, oral squamous cell carcinoma cells (KB) and normal mice fibroblast cells (L929) were cultured and treated with different concentrations of Brevinin-2R (0.1-30 µg/ml) for 24, 48 and 72 hours. Then, cell viability was calculated by MTT method. Data were fed to SPSS software (version 20) via which One Way ANOVA and Tukey tests were calculated for the collected data.

Results: The half-maximal inhibitory concentration (IC50) of Brevinin-2R for KB cells and L929 cells were 15.48 and 24.14 µg/ml respectively, demonstrating that higher concentration of Brevinin-2R is necessary in order to reach IC50 concentration for L929 cells (about 1.5 times).

Conclusion: Results point out that Brevinin-2R peptide is more effective on oral squamous cell carcinoma cells compared to normal mice fibroblast cells (L929).

Keywords: *Brevinin-2R, Cell cytotoxic, Oral Squamous cell Carcinoma, Medical peptide*